

ÁLBUM FOTOGRÁFICO
976 (26-39)
MAZARRÓN

COORDENADAS FOTOS 976 (26-39)

Nº Foto	X	Y
26-39-IN-FG-F 1	631418	4158710
26-39-IN-FG-F 2	639591	4162848
26-39-IN-FG-F 3	648998	4167312
26-39-IN-FG-F 4	648998	4167312
26-39-IN-FG-F 5	639484	4161126
26-39-IN-FG-F 6	639484	4161126
26-39-IN-FG-F 7	639917	4152338
26-39-IN-FG-F 8	639917	4152338
26-39-IN-FG-F 9	642115	4160009
26-39-IN-FG-F 10	642115	4160009
26-39-IN-FG-F 11	633970	4166484
26-39-IN-FG-F 12	649326	4165917
26-39-IN-FG-F 13	655621	4167377
26-39-IN-FG-F 14	631263	4156165
26-39-IN-FG-F 15	631443	4155995
26-39-IN-FG-F 16	649860	4160531
26-39-IN-FG-F 17	649860	4160531
26-39-IN-FG-F 18	648517	4159032
26-39-IN-FG-F 19	655132	4162456
26-39-IN-FG-F 20	634642	4164707
26-39-IN-FG-F 21	635423	4165865
26-39-IN-FG-F 22	635423	4165865
26-39-IN-FG-F 23	630771	4158779
26-39-IN-FG-F 24	632800	4165600
26-39-IN-FG-F 25	650070	4166852
26-39-IN-FG-F 26	649386	4166691
26-39-IN-FG-F 27	649531	4168101
26-39-IN-FG-F 28	649148	4167317
26-39-IN-FG-F 29	649148	4167317



26-39-IN-FG-F 1 .- Panorámica tomada hacia el SE de los carbonatos de la unidad del Ramonete en la que se observa el contacto con la unidad de Peñas Blancas. Sector de la Cueva del Agua.



26-39-IN-FG-F 2.- Panorámica del Manto del Mulhacén (Sierras de las Moreras en primer plano y de Almenara al fondo). Se observa el contacto mecanizado entre mármoles y esquistos de la unidad superior del Manto del Mulhacén en la terminación septentrional de la Sierra de las Moreras (Sector de Coto Fortuna).



26-39-IN-FG-F 3.- Estructuras aparentemente sedimentarias, tales como brechas intraformacionales, en Mármoles del Manto del Mulhécen. Unidad Inferior, Sierra del Algarrobo.



26-39-IN-FG-F 4.- Estructuras aparentemente sedimentarias, tales como brechas intraformacionales, en Mármoles del Manto del Mulhén. Unidad inferior, Sierra del Algarrobo.



26-39-IN-FG-F 5.- Rocas ígneas intruidas en los esquistos grafitosos del Manto del Veleta. Sierra de las Moreras.



26-39-IN-FG-F 6.- Xenolito dentro de rocas ígneas terciarias intruidas en el Manto del Veleta (Nevado Filábride). Sierra de las Moreras.



26-39-IN-FG-F 7.- Pliegues en esquistos del Manto del Veleta. Sector Meridional del Lomo de Bas.



26-39-IN-FG-F 8.- Interferencia de pliegues en esquistos del Manto del Veleta. Sector Meridional del Lomo de Bas.



26-39-IN-FG-F 9.- Plano de falla que afecta al contacto entre los carbonatos de la Unidad del Ramonete y las filitas infrayacentes y que los llega a poner en contacto con los carbonatos de la unidad de Peñas Blancas. Sector meridional Sierra de las Moreras.



26-39-IN-FG-F 10.- Plano de falla que afecta al contacto entre los carbonatos de la Unidad del Ramonete y las filitas infrayacentes y que los llega a poner en contacto con los carbonatos de la unidad de Peñas Blancas. Sector meridional Sierra de las Moreras.



26-39-IN-FG-F 11.- Panorámica hacia el Este desde la Sierra de Almenara. Se observan los mármoles y micaesquistos azulados característicos de la unidad inferior del Manto del Mulhacén (Nevado Filábride).



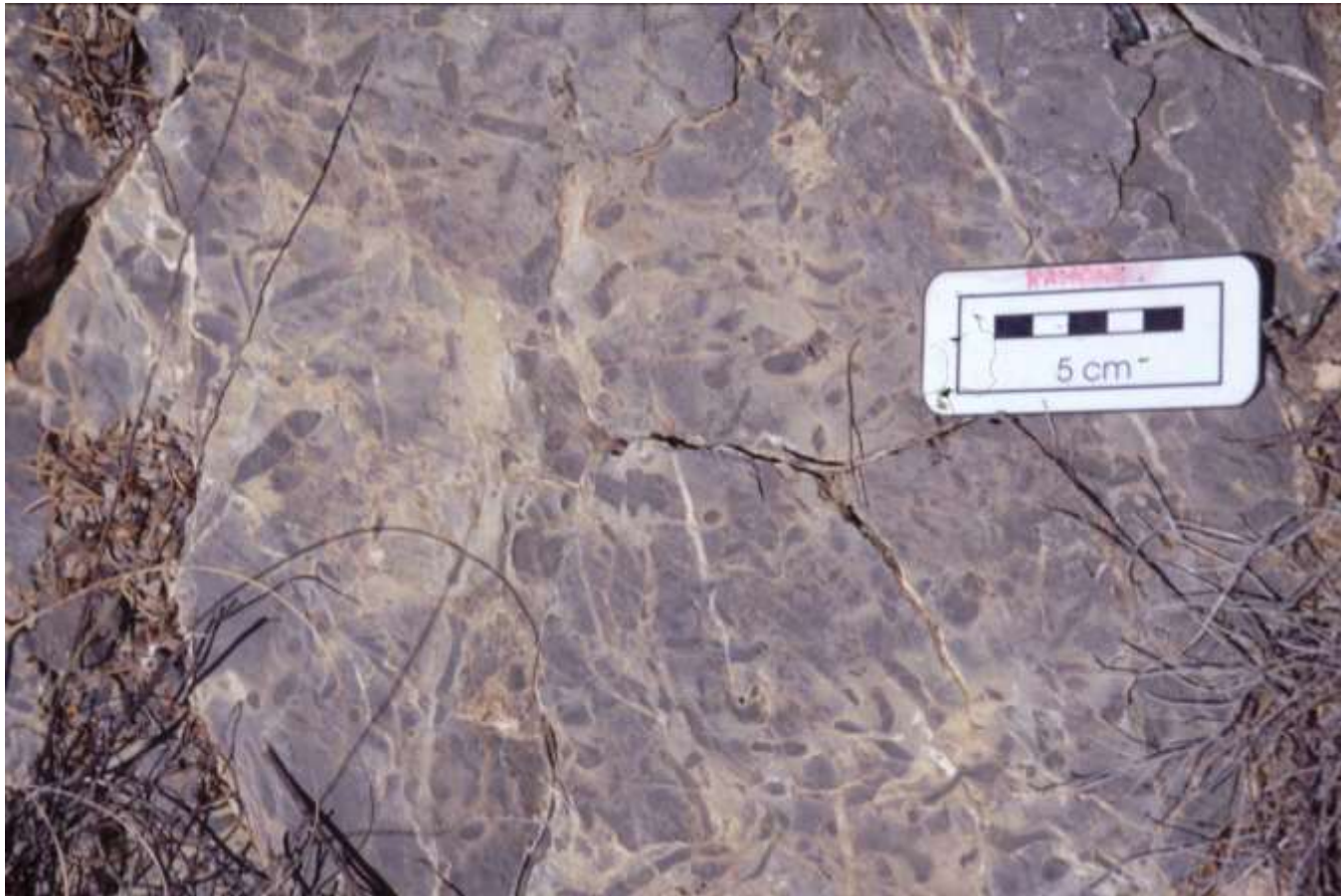
26-39-IN-FG-F 12.- Panorámica en la que se observan grandes pliegues en mármoles nevadofilabrides. Mazarrón.



26-39-IN-FG-F 13.- Aspecto de campo de los mármoles del Manto del Mulhacén, con esquistos azulados y anfibolitas a la base. Sector Lomachón, Mazarrón.



26-39-IN-FG-F 14.- Nódulos de sílex alargados y paralelos a las superficies de estratificación. La morfología de éstos es muy variable, desde niveles tabulares de espesor centimétrico y continuidad lateral decimétrica, hasta pequeños nódulos de sílex redondeados, de diámetro centimétrico (unidad de Ramonete, Formación carbonatada superior).



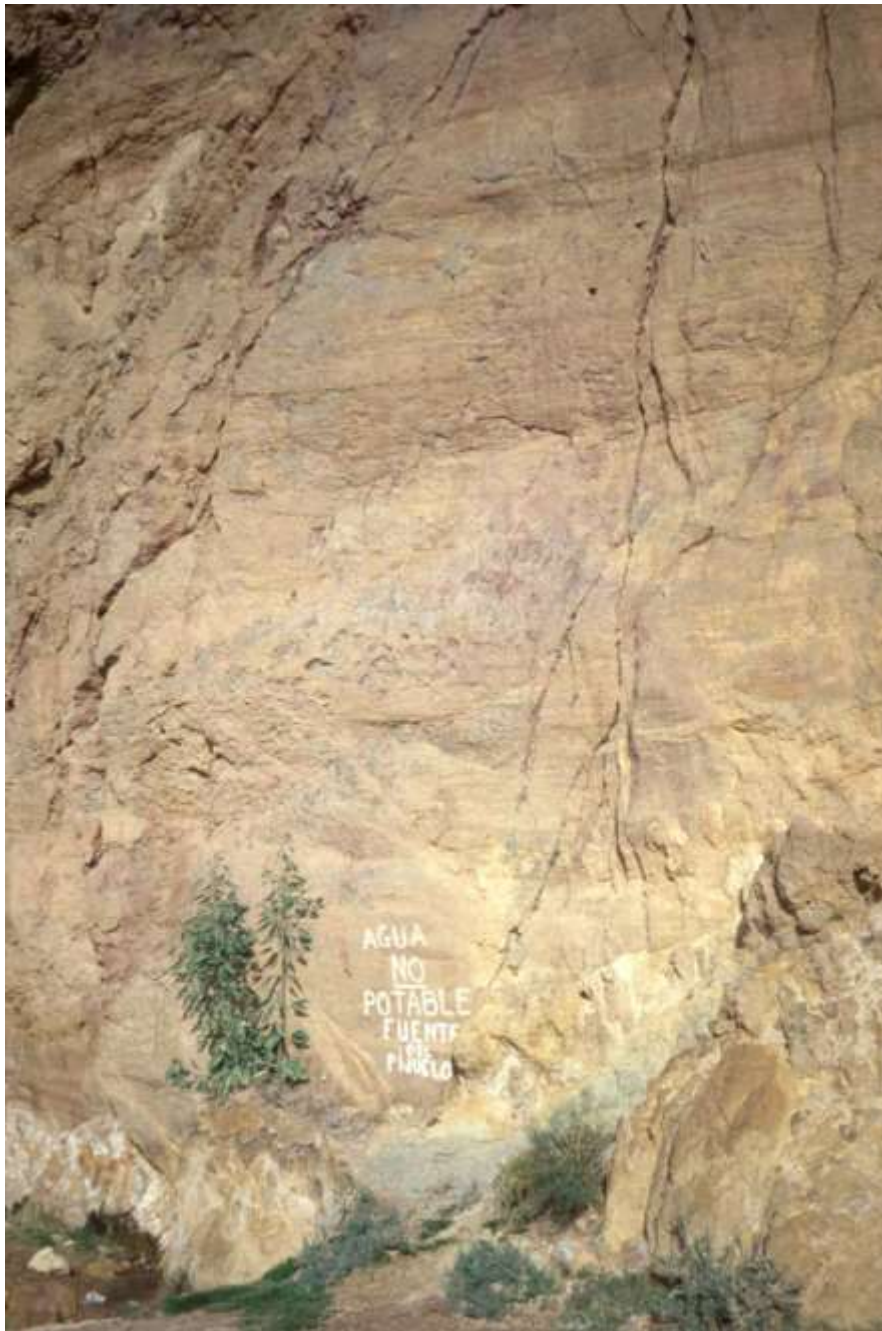
26-39-IN-FG-F 15.- Facies bioturbadas características de los niveles calizos – margocalizos (Calizas de *Fucoides*). Los *burrows* suelen ser casi siempre paralelos a las superficies de estratificación, con tamaños que van desde pocos centímetros hasta más de 15 centímetros de largo, por uno o dos centímetros de ancho (Unidad del Ramonete).



26-39-IN-FG-F 16.- Falla de desgarre dextrorsa que pone en contacto materiales alpujárrides triásicos y sedimentos miocenos. Borde norte de la Sierra de las Moreras.



26-39-IN-FG-F 17.- Zona de Falla. Pone en contacto materiales alpujárrides triásicos y sedimentos miocenos. Borde norte de la Sierra de las Moreras.



26-39-IN-FG-F 18.- Plano de falla vertical con estrías horizontales que indican un movimiento dextrorso, en carbonatos alpujárrides en contacto con sedimentos serravalienses. Borde S S^a. de las Moreras. 26-39-IN-FG-F



26-39-IN-FG-F 19.- Estructuras de extensión en filitas alpujárrides (unidad de Peñas Blancas) cerca del contacto con el Nevado Filábride.



26-39-IN-FG-F 20.-Pliegues en esquistos nevadofilábrides del Manto del Mulhacén. Borde Sur de Sierra Almenara.



26-39-IN-FG-F 21.- Panorámica hacia el SE de la Sierra de las Moreras. Complejo Nevado Filábride. Las partes más elevadas están constituidas predominantemente por mármoles, mientras que en las partes deprimidas predominan los esquistos.



26-39-IN-FG-F 22.- Panorámica hacia el SE de la Sierra de las Moreras. Tomada desde Sierra Almenara.



26-39-IN-FG-F 23.- Pliegues en Carbonatos de la unidad de Peñas Blancas – Talayón. Sector occidental de la Hoja de Mazarrón.



**26-39-IN-FG-F24.- Pliegue en mármoles nevadofilábrides.
Sierra Almenara.**



26-39-IN-FG-F 25.- Mármoles y esquistos azulados de la unidad inferior del Manto del Mulhacén. Sierra del Algarrobo.



26-39-IN-FG-F 26.-Mármoles y esquistos azulados de la unidad inferior del Manto del Mulhacén. Sierra del Algarrobo.



26-39-IN-FG-F 27.- Metabasitas intruidas en yesos nevadofilabrides. Las Yeseras, Sierra del Algarrobo.



26-39-IN-FG-F28.-Metaevaporitas con escapolita. Manto del Mulhacén. Sierra del Algarrobo.



26-39-IN-FG-F 29.- Metaevaporitas de la unidad inferior del Manto del Mulhacén. Apparently conservan estructuras sedimentarias. Sierra del Algarrobo.